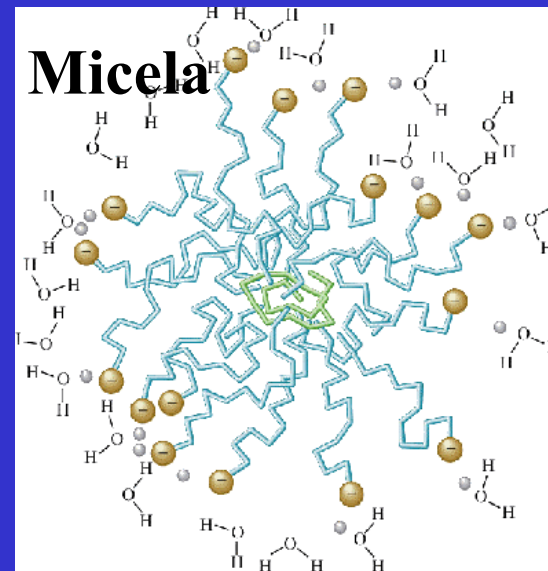


Roztok

Homogenní směs molekul, které mohou být v pevném, kapalném nebo plynném stavu

- **Pravé roztoky**
- **Micelární a koloidní roztoky (suspenze):**
částice 1 nm – 10 μm

Tyndallův jev – rozptyl světla



Druhy roztoků

Složka 1	Složka 2	Stav směsi	Příklad
G	G	G	Vzduch
G	L	L	Sodová voda (CO ₂)
G	S	S	H ₂ (850 cm ³) v Pd(1 cm ³)
L	L	L	Ethanol ve vodě
S	L	L	NaCl ve vodě
S	S	S	Mosaz (Cu/Zn) Pájka (Sn/Pb)

Složení roztoků

Hmotnostní zlomek
a procenta
w/w

$$w\% = \frac{m_2}{m_{\text{roztoku}}} 100$$

1 = rozpouštědlo
2 = rozpuštěná látka

Objemový zlomek
a procenta
v/v

$$v\% = \frac{V_2}{\sum V_{\text{složky}}} 100$$

Před smícháním

Hmotnostní koncentrace
w/v
 g cm^{-3}

$$c = \frac{m_2}{V_{\text{roztoku}}} = \frac{m_2 \rho_{\text{roztoku}}}{m_{\text{roztoku}}}$$

Složení roztoků

Molární koncentrace [mol l^{-1}]

$$c_M = \frac{n_2}{V_{\text{roztoku}}}$$

Molální koncentrace [mol kg^{-1}]

Nezávisí na T

$$c_m = \frac{n_2}{m_1}$$

1 = rozpouštědlo

2 = rozpuštěná látka

Molární zlomek

$$x_i = \frac{n_i}{n_1 + n_2 + \dots + n_i + \dots}$$

Složení roztoků

ppm 1 díl v 10^6 dílech

ppb 1 díl v 10^9 dílech

ppt 1 díl v 10^{12} dílech

Rozpustnost

Komplikovaný proces – neexistuje jednoduchá a obecně aplikovatelná teorie rozpustnosti

Empirické pravidlo : Like dissolves like

Dobrá rozpustnost :

polární látky v polárních rozpouštědlech (voda, aceton, alkoholy, CH_3CN , DMF, DMSO,...)

nepolární látky v nepolárních rozpouštědlech (CCl_4 , alkany, benzen,...)

Faktory ovlivňující rozpustnost

1. Druh rozpuštěné látky

Like dissolves Like !

2. Druh rozpouštědla

3. Teplota

4. Tlak (plyny – Henryho zákon)

5. Další rozpuštěné látky – vysolení

Rozpustnost ve vodě a hexanu

TABLE 13.3 Solubilities of Some Alcohols in Water and in Hexane

Alcohol	Solubility in H ₂ O ^a	Solubility in C ₆ H ₁₄
CH ₃ OH (methanol)	∞	0.12
CH ₃ CH ₂ OH (ethanol)	∞	∞
CH ₃ CH ₂ CH ₂ OH (propanol)	∞	∞
CH ₃ CH ₂ CH ₂ CH ₂ OH (butanol)	0.11	∞
CH ₃ CH ₂ CH ₂ CH ₂ CH ₂ OH (pentanol)	0.030	∞
CH ₃ CH ₂ CH ₂ CH ₂ CH ₂ CH ₂ OH (hexanol)	0.0058	∞
CH ₃ CH ₂ CH ₂ CH ₂ CH ₂ CH ₂ CH ₂ OH (heptanol)	0.0008	∞

Interakce rozpouštědlo - rozpuštěná látka

Rozpuštění probíhá ve 3 krocích

1. Oddělení molekul rozpuštěné látky

Obvykle endothermický ($+\Delta H_{AA}$) proces vyjma rozpouštění plynů.
Mřížková energie u iontových látek. Vzrůst entropie ($+\Delta S$)

2. Vytvoření děr v rozpouštědle

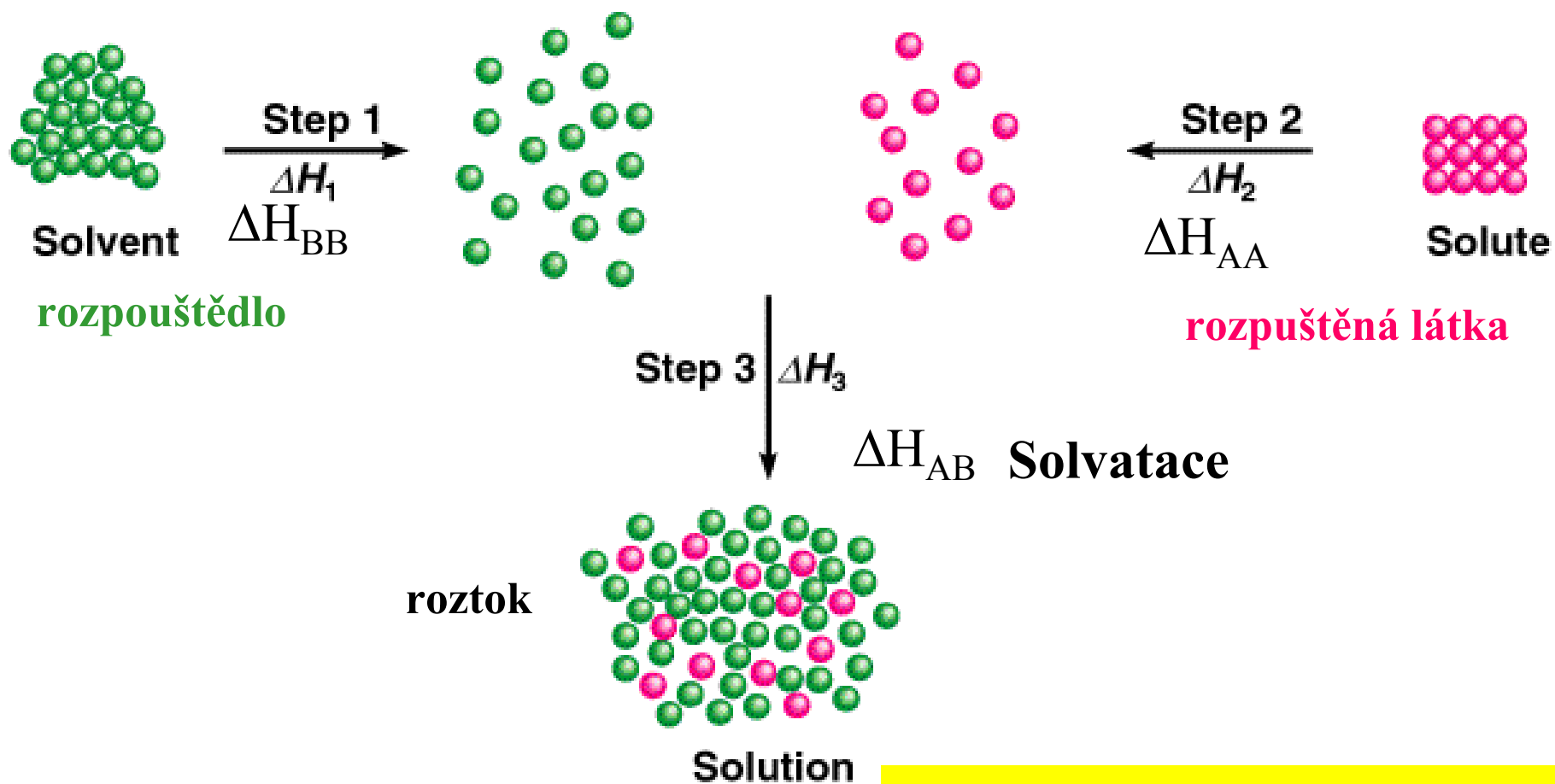
Obvykle endothermický ($+\Delta H_{BB}$) proces vyjma rozpouštění v plynech.

3. Solvatace rozpuštěné látky rozpouštědlem

Obvykle exothermický ($-\Delta H_{AB}$) proces vyjma rozpouštění plynů v plynech. ($+\Delta S$)

$$\Delta H_{\text{rozp}} = \Delta H_{AA} + \Delta H_{BB} + \Delta H_{AB}$$

Rozpouštění



$$\Delta H_{\text{rozp}} = \Delta H_{AA} + \Delta H_{BB} + \Delta H_{AB}$$

Rozpouštědlo - rozpuštěná látka

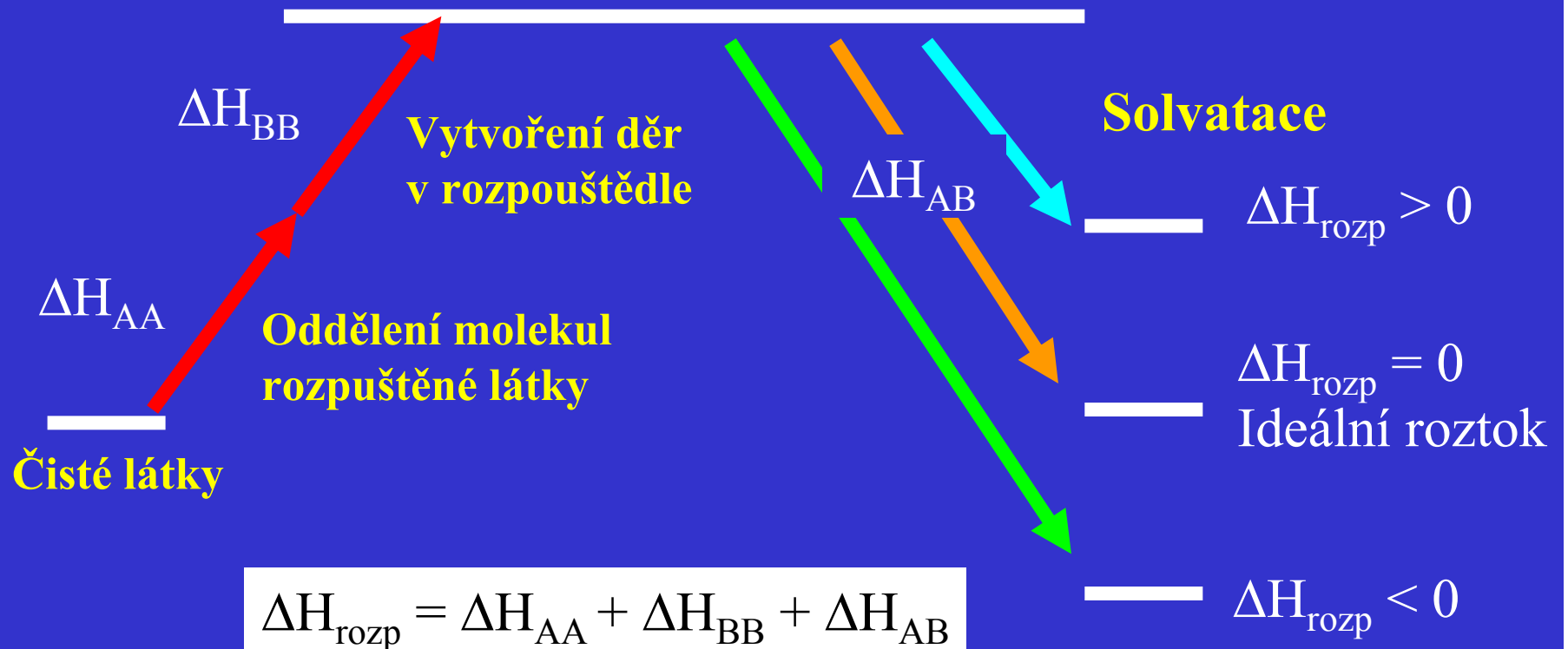
I v případě, že rozpouštění je energeticky neutrální nebo mírně endotermní ($+\Delta H$) může probíhat díky entropické hnací síle ($+\Delta S$) !

Entropie mísení je vždy kladná. Směs má vyšší entropii než čisté látky

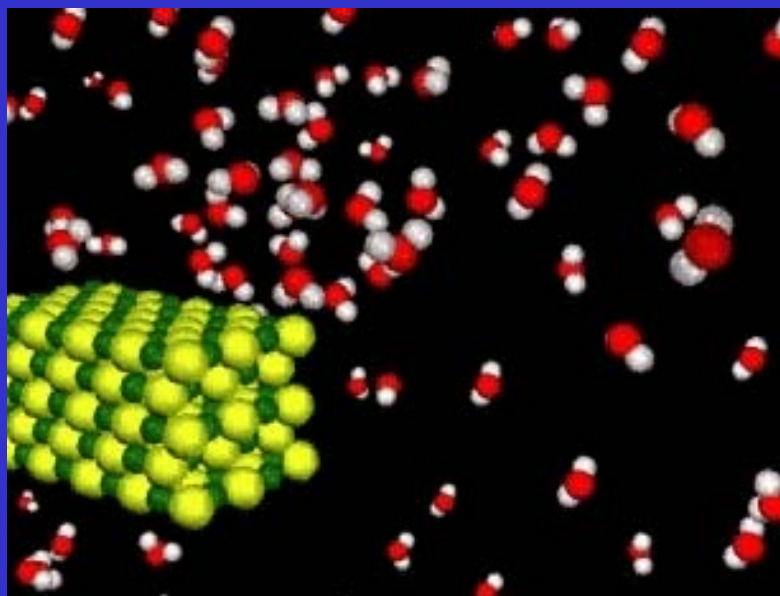
$$\Delta G^0 = \Delta H^0 - T \Delta S^0$$

$$\Delta G^0 < 0$$

Ideální a neideální roztoky



Rozpouštěcí enthalpie



NaOH do vody

$$\Delta H_{\text{rozp}} = - 44.48 \text{ kJ mol}^{-1}$$

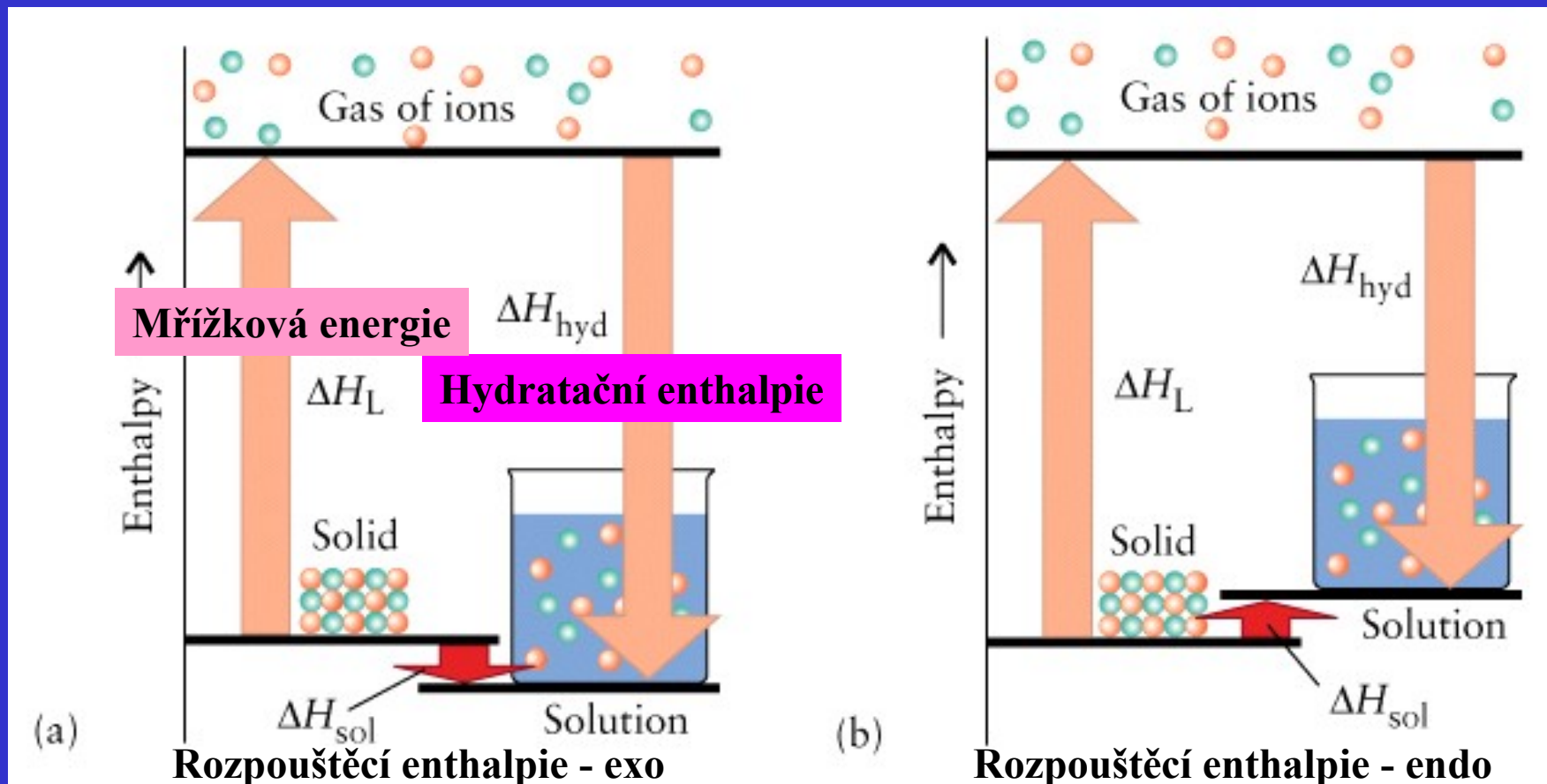
NH₄NO₃ do vody

$$\Delta H_{\text{rozp}} = + 26.4 \text{ kJ mol}^{-1}$$

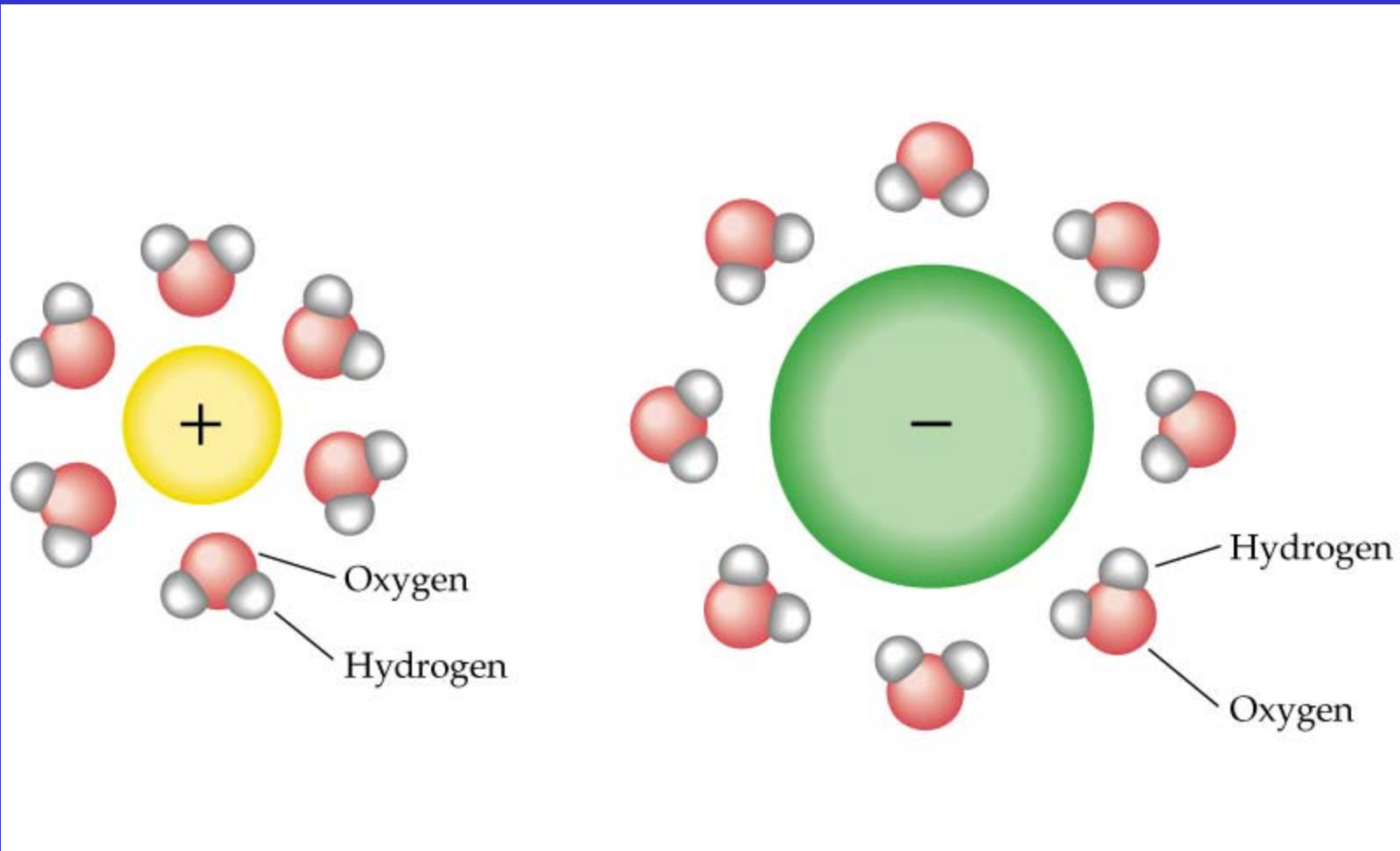
Rozpouštědlo - rozpuštěná látka

Rozpustnost závisí na změně enthalpie ΔH
a změně entropie ΔS při rozpouštění

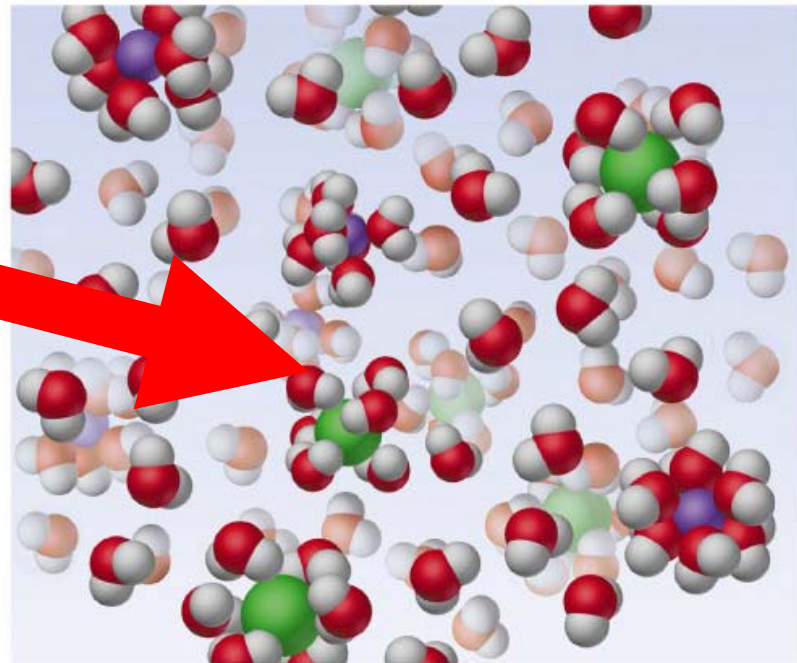
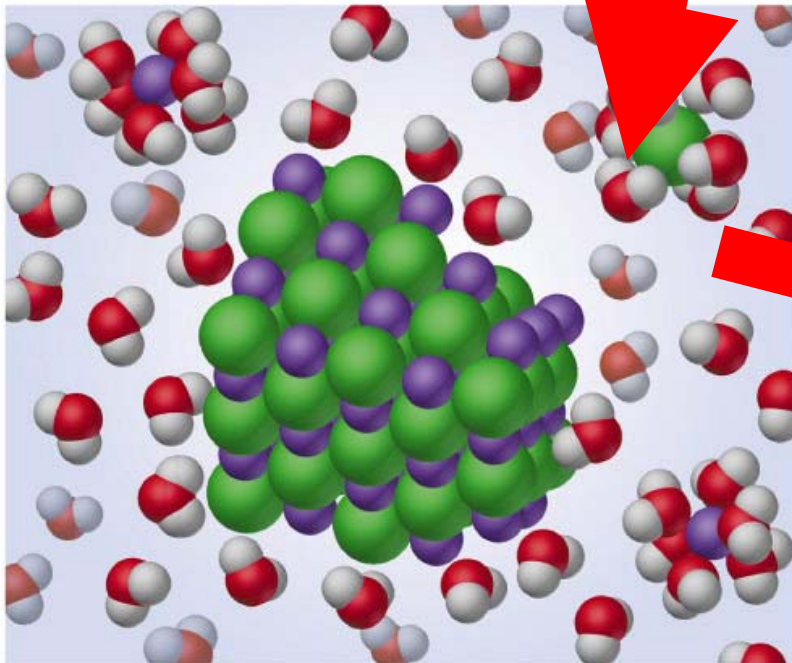
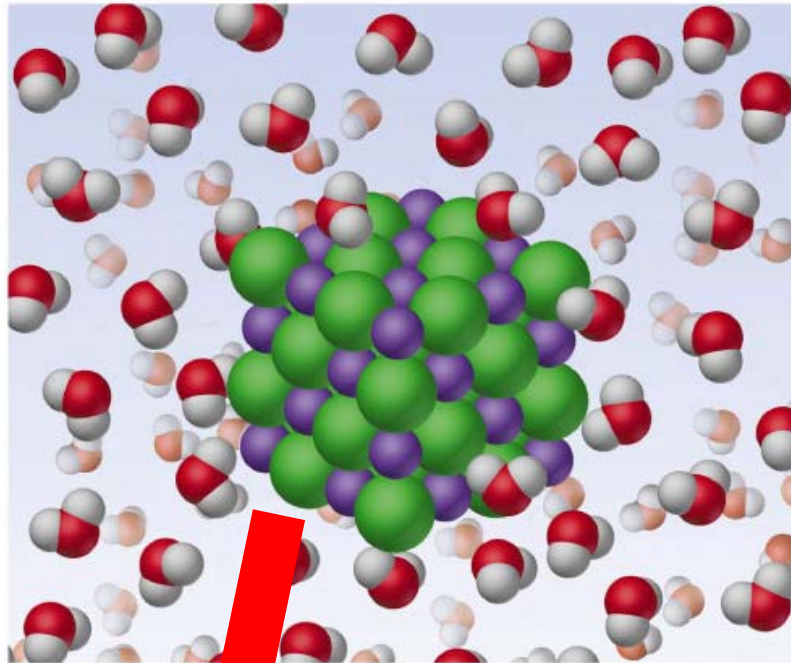
$$\Delta G^0 = \Delta H^0 - T \Delta S^0$$



Hydratace, solvatace



Rozpouštění
NaCl



Rozpouštěcí enthalpie

Table 12.5 Enthalpies of solution, ΔH_{sol} , at 25°C for very dilute aqueous solutions, in kilojoules per mole*

Cation	Anion							
	fluoride	chloride	bromide	iodide	hydroxide	carbonate	nitrate	sulfate
lithium	+4.9	-37.0	-48.8	-63.3	-23.6	-18.2	-2.7	-29.8
sodium	+1.9	+3.9	-0.6	-7.5	-44.5	-26.7	+20.4	-2.4
potassium	-17.7	+17.2	+19.9	+20.3	-57.1	-30.9	+34.9	+23.8
ammonium	-1.2	+14.8	+16.0	+13.7	—	—	+25.7	+6.6
silver	-22.5	+65.5	+84.4	+112.2	—	+41.8	+22.6	+17.8
magnesium	-12.6	-160.0	-185.6	-213.2	+2.3	-25.3	-90.9	-91.2
calcium	+11.5	-81.3	-103.1	-119.7	-16.7	-13.1	-19.2	-18.0
aluminum	-27	-329	-368	-385	—	—	—	-350.

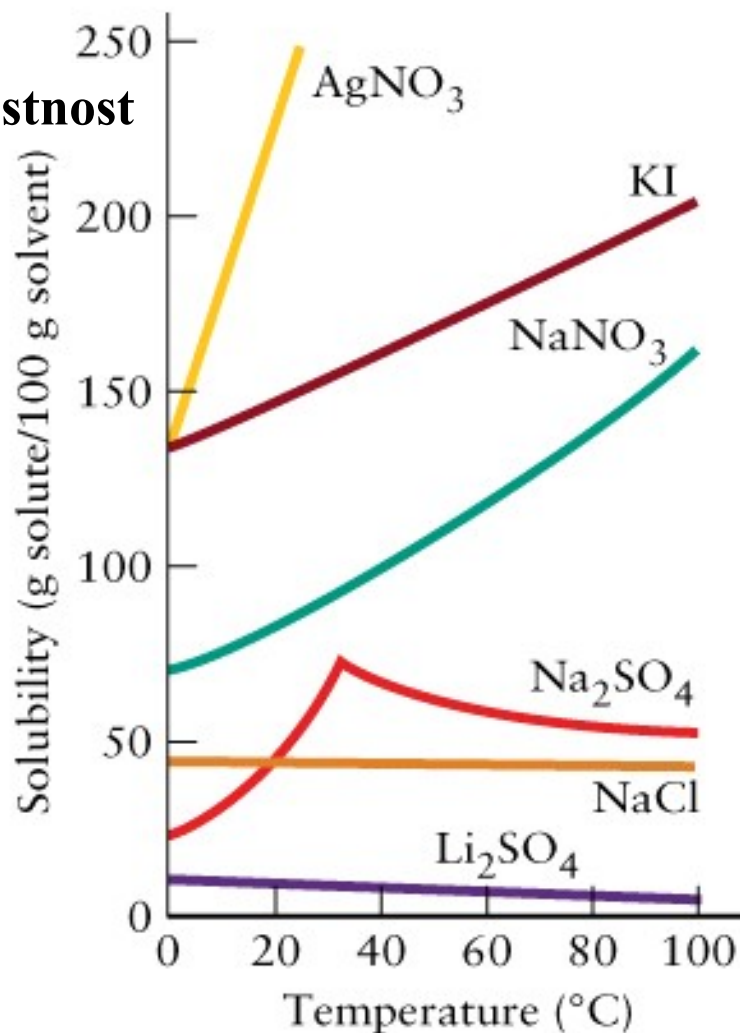
*The value for silver iodide, for example, is the entry found where the row labeled "silver" intersects the column labeled "iodide." A positive value of ΔH_{sol} indicates an endothermic process.

Závislost rozpustnosti na teplotě

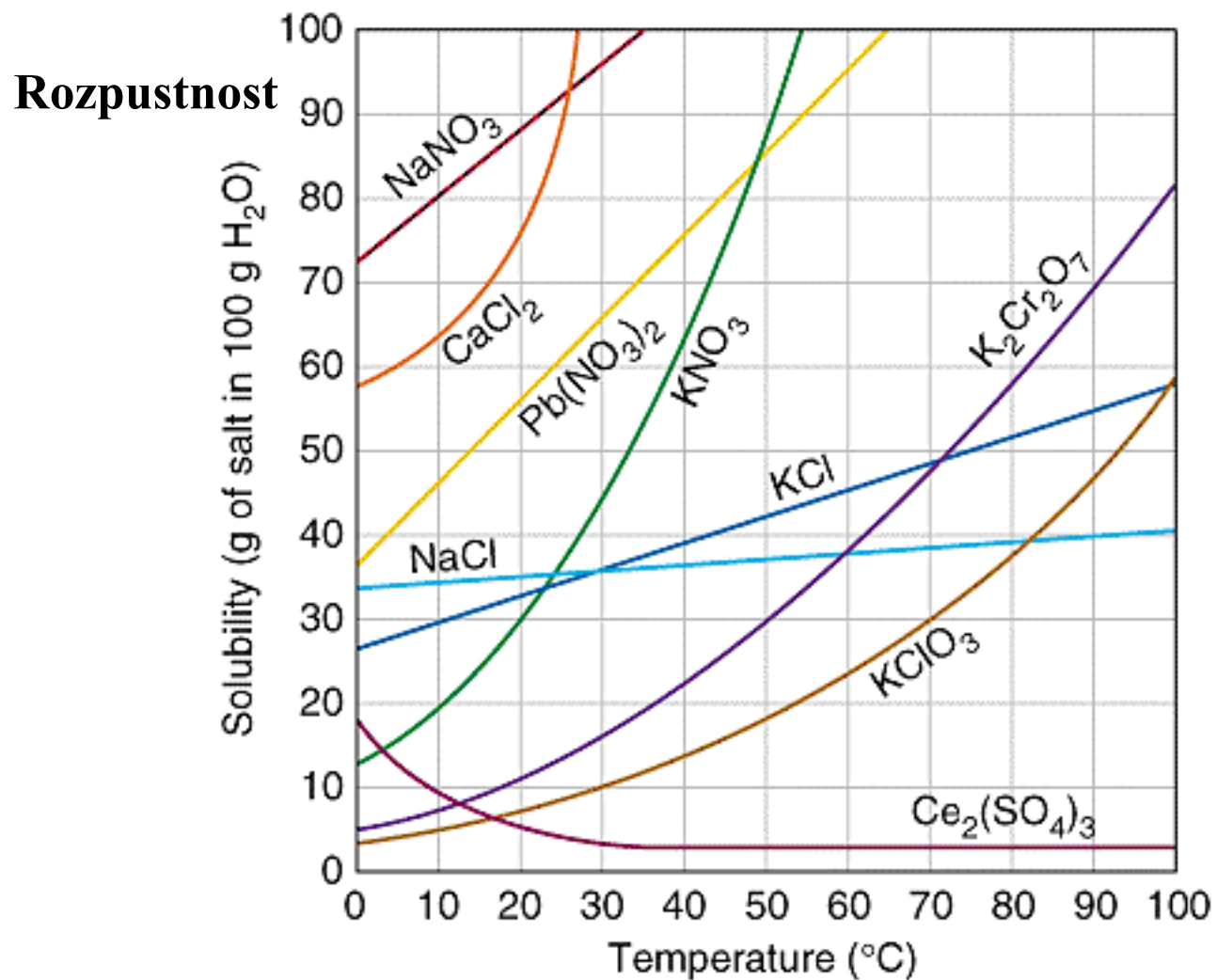
Rozpustnost látek
s rostoucí teplotou

- Roste (většina látek, 95%)
- Nemění se (NaCl)
- Klesá (často sírany)

Rozpustnost

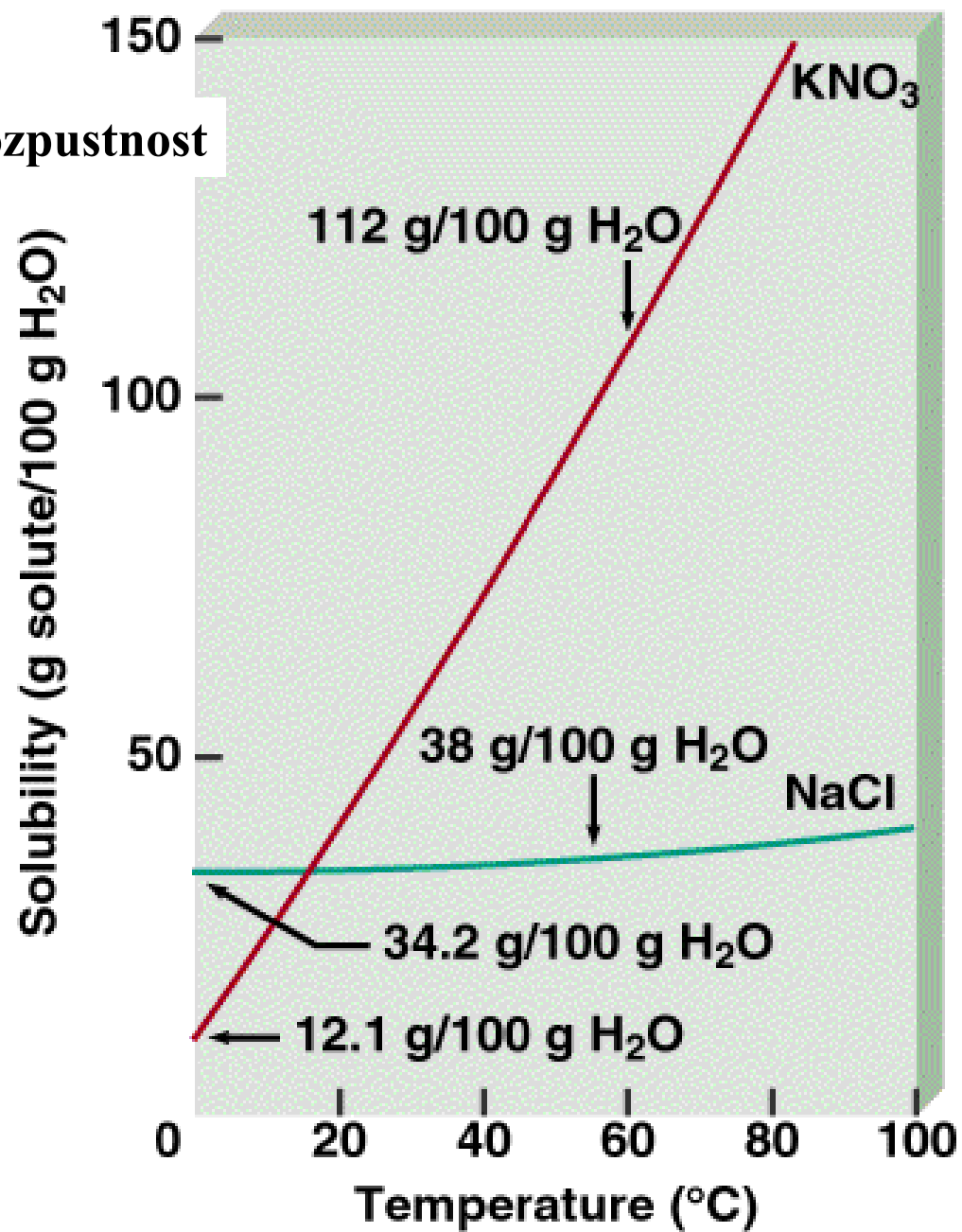


Závislost rozpustnosti na teplotě



Frakční krystalizace

Rozpustnost



Rozpustnost plynů

Plyny se mísí ve všech poměrech, neomezeně
– růst entropie je hnací silou

Plyny se rozpouští v kapalinách exothermicky ($\Delta H_{\text{rozp}} < 0$)

$$\Delta H_{\text{rozp}} = \Delta H_{\text{AA}} + \Delta H_{\text{BB}} + \Delta H_{\text{AB}}$$

$= 0 \qquad > 0 \qquad \ll 0$

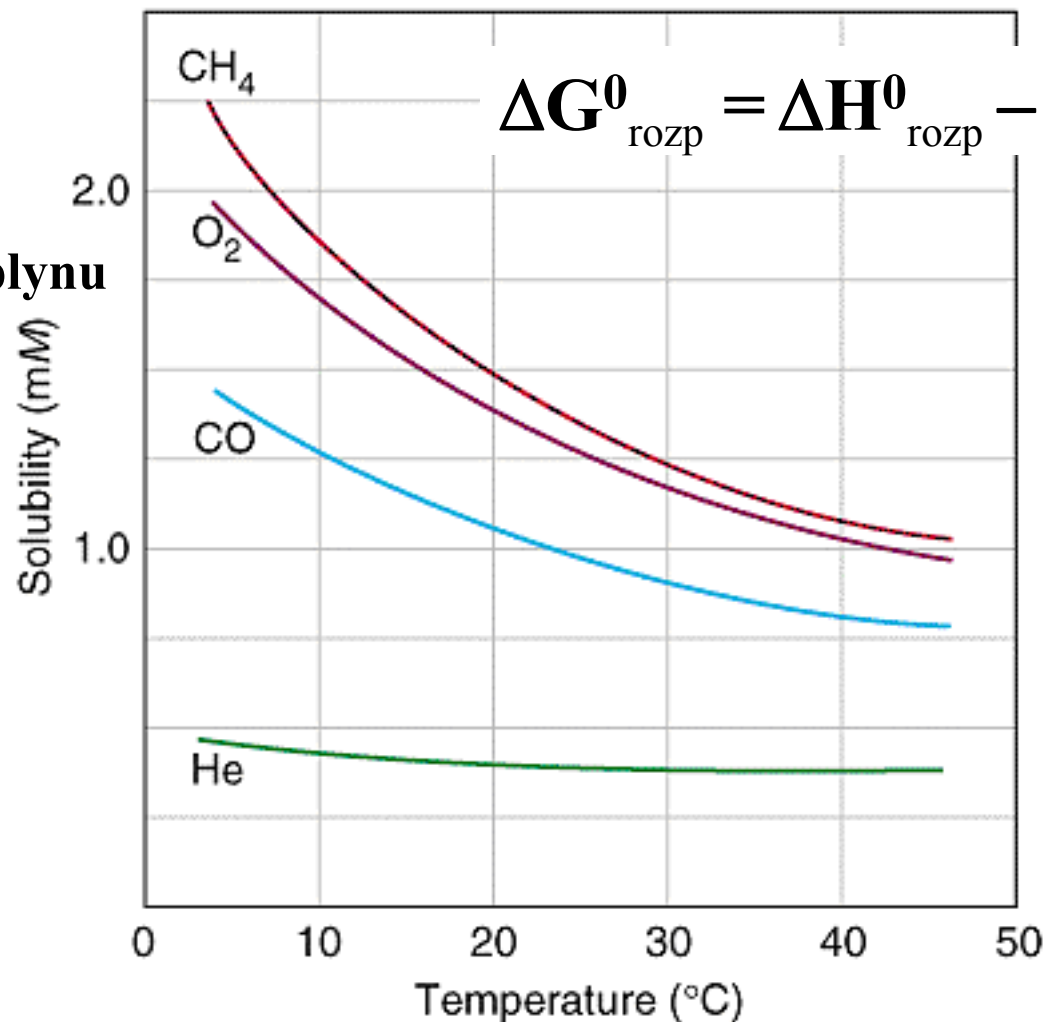
Rozpustnost plynů klesá s rostoucí teplotou
negativní změna entropie $g \rightarrow l \quad \Delta S^0_{\text{rozp}} < 0$

$$\Delta G^0_{\text{rozp}} = \Delta H^0_{\text{rozp}} - T \Delta S^0_{\text{rozp}}$$

Rozpustnost závisí na tlaku plynu nad roztokem = parciální tlak

Rozpustnost plynů klesá s rostoucí teplotou

Rozpustnost plynu



$$\Delta G^0_{\text{rozp}} = \Delta H^0_{\text{rozp}} - T \Delta S^0_{\text{rozp}}$$

$$\Delta H_{\text{rozp}} < 0$$

$$\Delta S^0_{\text{rozp}} < 0$$

Henryho zákon

Henryho zákon

Molární rozpustnost roste s parciálním tlakem složky

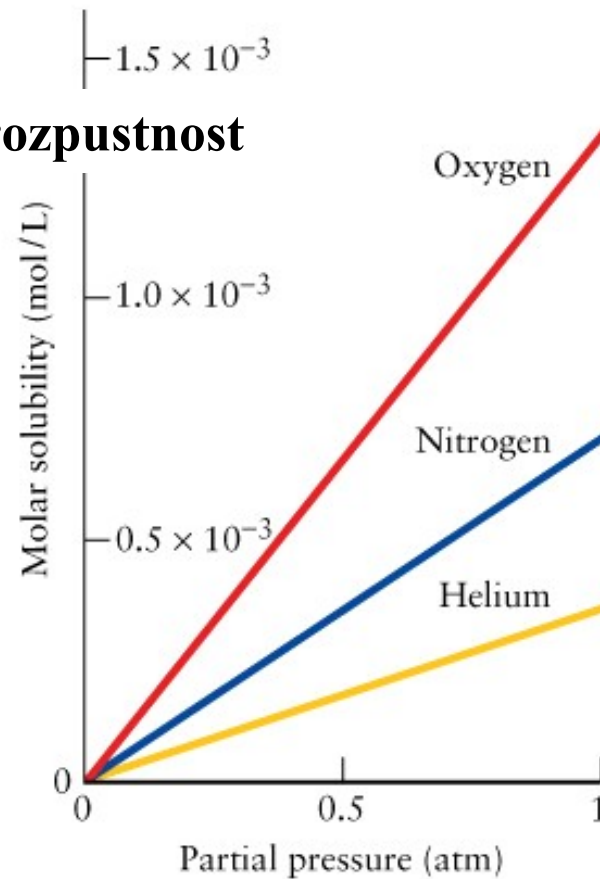
$S \text{ [mol l}^{-1}\text{]} = \text{konstanta} \times \text{parciální tlak (při konst. T)}$

$$S_2 = k_H \times P_2$$

Table 12.4 Henry's law constants for gases in water at 20°C

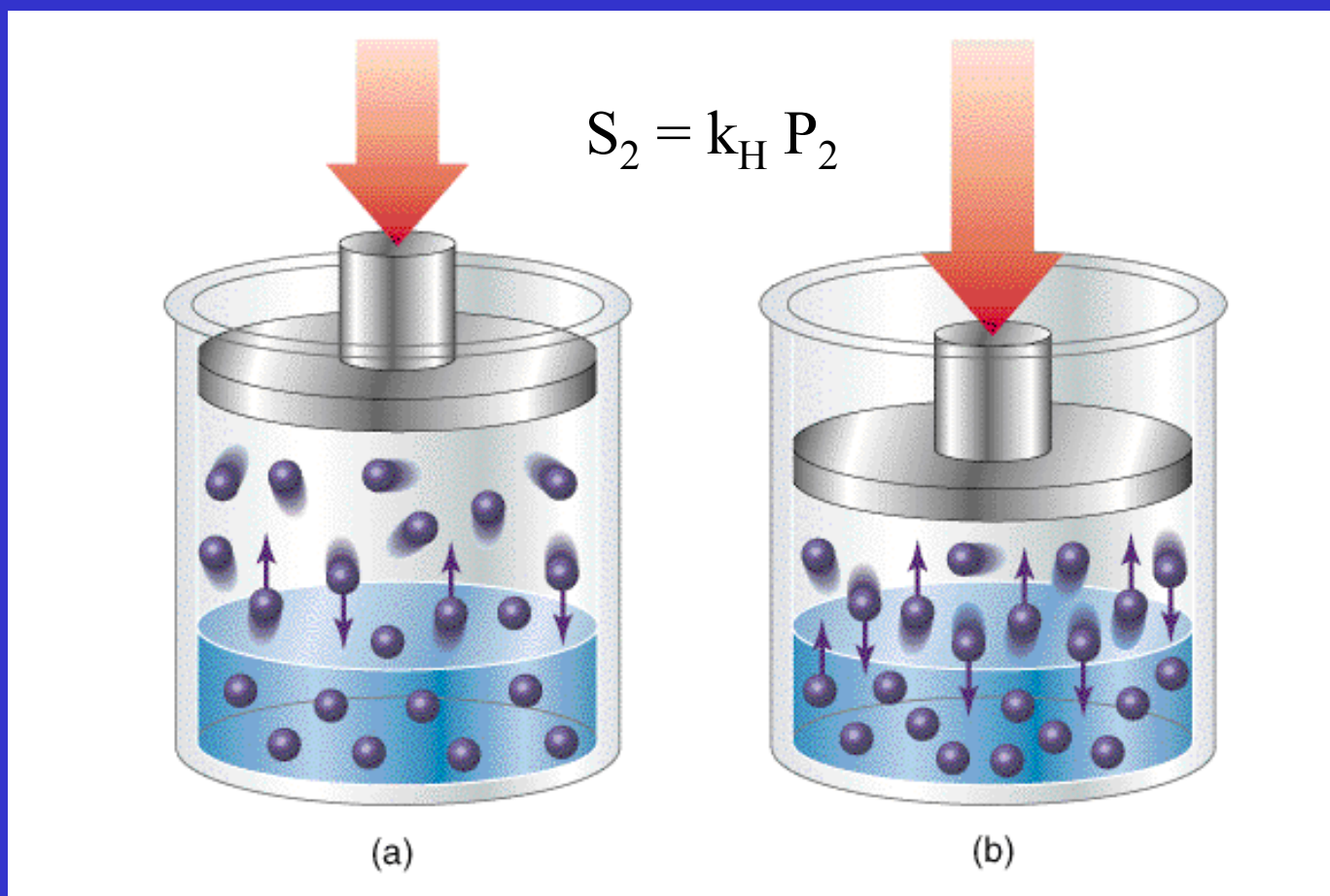
Gas	k_H , mol/L·atm
air	7.9×10^{-4}
argon	1.5×10^{-3}
carbon dioxide	2.3×10^{-2}
helium	3.7×10^{-4}
hydrogen	8.5×10^{-4}
neon	5.0×10^{-4}
nitrogen	7.0×10^{-4}
oxygen	1.3×10^{-3}

Molární rozpustnost



Henryho zákon

Molární rozpustnost roste s parciálním tlakem složky



Henryho zákon

Množství N_2 rozpuštěné v krvi potápěče na hladině a ve 30 m hloubce

$$S = k_H P$$

Parciální tlak N_2 na hladině $P_{N_2} = x_{N_2} P_{\text{celk}} = (0.8)(1 \text{ atm})$

$$P_{N_2} (\text{hladina}) = 0.8 \text{ atm}$$

Ve 30 m hloubce $P_{\text{celk}} = 4 \text{ atm}$

$$P_{N_2} (30 \text{ m}) = x_{N_2} P_{\text{celk}} = (0.8)(4 \text{ atm}) = 3.2 \text{ atm}$$

$$k_H (N_2) = 7.0 \cdot 10^{-4} \text{ mol l}^{-1} \text{ atm}^{-1}$$

Pod 30 m dusíková narkóza

na hladině $S = (7.0 \cdot 10^{-4} \text{ mol l}^{-1} \text{ atm}^{-1})(0.8 \text{ atm}) = 5.6 \cdot 10^{-4} \text{ mol l}^{-1}$

ve 30 m $S = (7.0 \cdot 10^{-4} \text{ mol l}^{-1} \text{ atm}^{-1})(3.2 \text{ atm}) = 2.2 \cdot 10^{-3} \text{ mol l}^{-1}$

Bunsenův absorpční koeficient

Objem, který by zaujímal plyn za tlaku (101.325 kPa) a při teplotě 0 °C, pohlcený v objemové jednotce rozpouštědla za dané teploty.

O₂ 0.03802 při 10 °C

1 litr H₂O při 10 °C pohltí 38.02 cm³ O₂

O₂ je více rozpustný ve vodě než N₂

Teorie elektrolytické disociace

Ve vodě



Disociační stupeň

$$\alpha = n_{\text{disoc}} / n_0$$

Svante Arrhenius
(1859-1927)

NP za chemii 1903

Disociační konstanta

$$K_d = \frac{[\text{H}^+][\text{CN}^-]}{[\text{HCN}]}$$

$$[\text{H}^+] = [\text{CN}^-] = \alpha [\text{HCN}]_0$$

$$[\text{HCN}] = (1 - \alpha) [\text{HCN}]_0 \quad \alpha \ll 1$$

$$K_d = (\alpha [\text{HCN}]_0)^2 / (1 - \alpha) [\text{HCN}]_0 = \alpha^2 [\text{HCN}]_0$$

Ostwaldův zředovací zákon

$$K_d = (\alpha [\text{HCN}]_0)^2 / (1 - \alpha) [\text{HCN}]_0 = \alpha^2 [\text{HCN}]_0$$

$$\alpha^2 = \frac{K_d}{[\text{HCN}]_0}$$

S rostoucí koncentrací elektrolytu **klesá** stupeň **disociace**

S rostoucím zředěním **roste** stupeň **disociace**

$$F = \text{konst } q_1 q_2 / r^2$$

S rostoucím zředěním roste vzdálenost mezi ionty, r , a **klesá** **přitažlivá síla**

Elektrolytická vodivost

The diagram illustrates the concept of electrolytic conductivity through three stages, each shown with a photograph of a light bulb setup and a corresponding microscopic view:

- čistá voda (pure water):** The light bulb is unlit. The microscopic view shows only water molecules (represented by blue and white spheres) with no free ions.
- iontová látka (ionic substance):** The light bulb is unlit. The microscopic view shows a solid lattice of ions (represented by green and brown spheres with '+' and '-' signs).
- roztok (solution):** The light bulb is lit. The microscopic view shows the ionic substance dissolved in water, with free ions (green and brown spheres with '+' and '-' signs) moving towards the electrodes. Arrows indicate movement towards the positive electrode (To (+) electrode) and the negative electrode (To (-) electrode).

Elektrolytická vodivost

Roztoky iontových látek

Volně pohyblivé ionty
Nosiče náboje

Elektrický odpor, R [Ω]

l = délka

A = plocha

ρ = specifický odpor [Ω m]

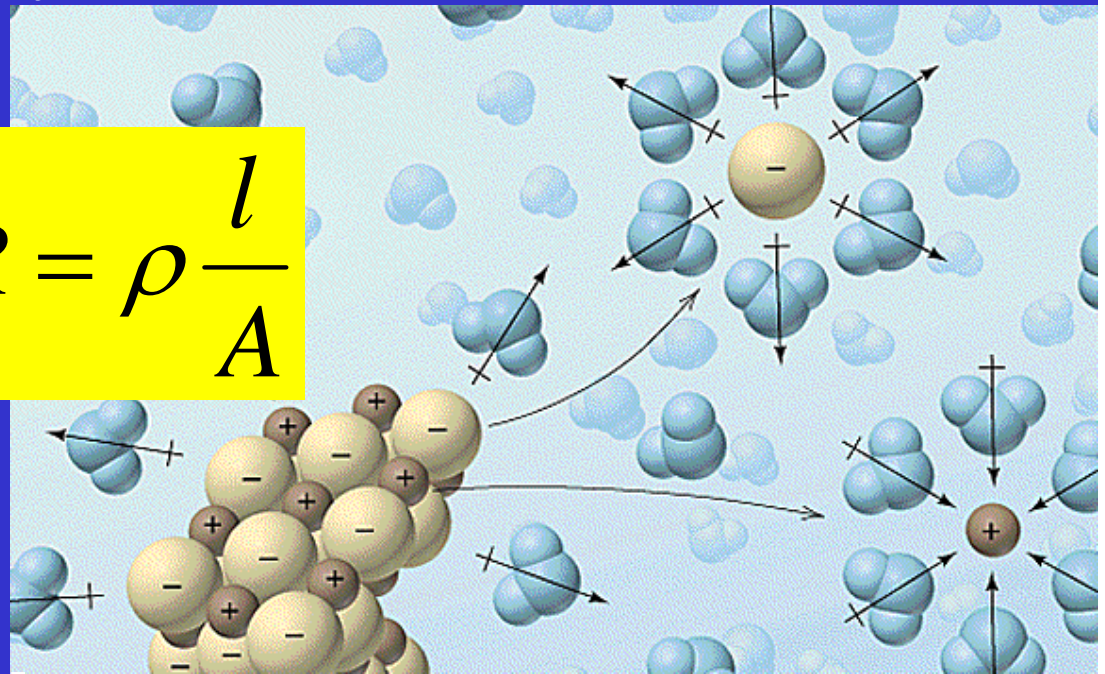
$\sigma = 1 / \rho$ = specifická vodivost

Molární vodivost, Λ

$\Lambda = \sigma / c$

Λ klesá s rostoucí koncentrací

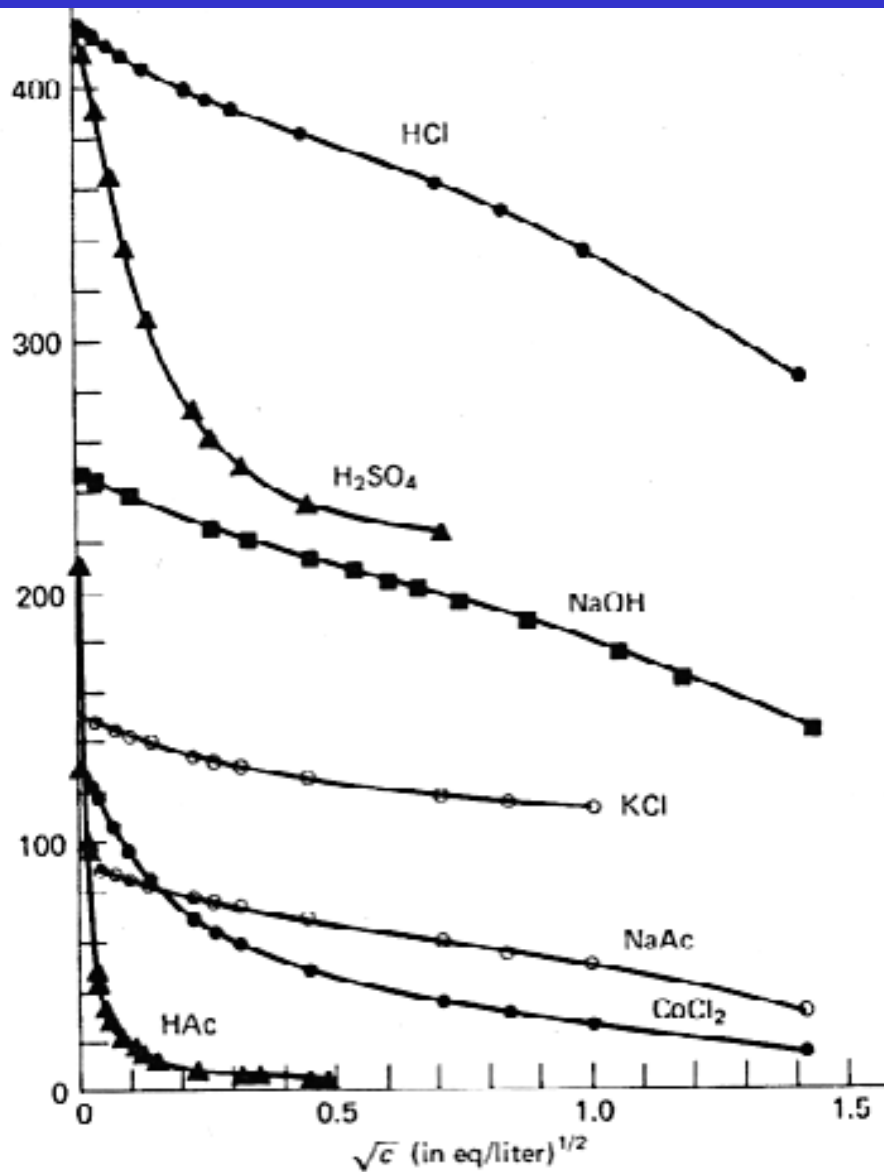
$$R = \rho \frac{l}{A}$$



Molární vodivost, Λ

$$\Lambda = \sigma / c$$

Λ klesá s rostoucí
koncentrací c



Aktivita elektrolytu

Asociace iontů při rostoucí koncentraci, vznik iontových párů

Klesá počet částic

Klesá vodivost – páry nevedou elektrický proud

Jen volné ionty zůstávají aktivní – korekce koncentrace na **asociaci**

Aktivita, a

$$a = \gamma_{\pm} c$$

Střední aktivitní koeficient, γ_{\pm} (nabývá hodnot 0 – 1)

$$\log \gamma_{\pm} = -0.509 |z_+ z_-| \sqrt{I} \quad z_+ z_- \text{ náboje iontů}$$

$$\text{Iontová síla roztoku, } I = \frac{1}{2} \sum c_i z_i^2 \quad c_i \text{ molalita [mol kg}^{-1}\text{]}$$

Střední aktivitní koeficient, γ_{\pm} , při 25 °C

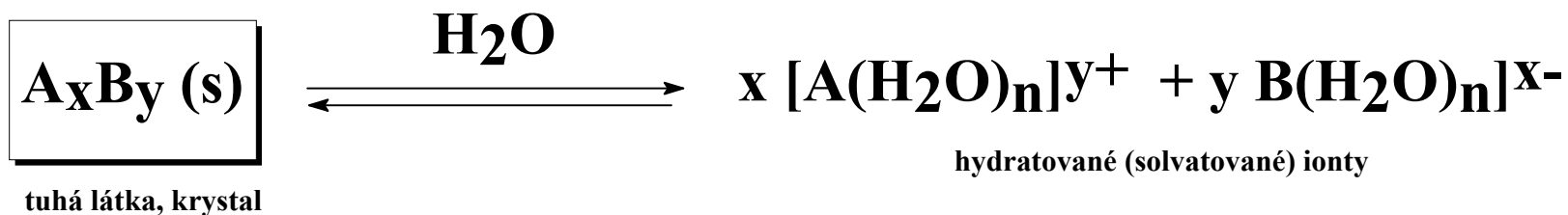
Molalita [mol kg⁻¹]

Látka	0.001	0.01	0.1
HCl	0.966	0.904	0.796
NaCl	0.966	0.904	0.780
BaCl ₂	0.880	0.729	0.512
ZnSO ₄	0.700	0.387	0.150

$$I = \frac{1}{2} \sum c_i z_i^2$$

$$\log \gamma_{\pm} = -0.509 |z_+ z_-| \sqrt{I}$$

Rozpustnost málo rozpustných iontových látek



Součin rozpustnosti: $K_s = [A]^x [B]^y$

Předpoklady:

silný elektrolyt, 100% disociace

iontová síla $I = \frac{1}{2} \sum c_i z_i^2 = 0$

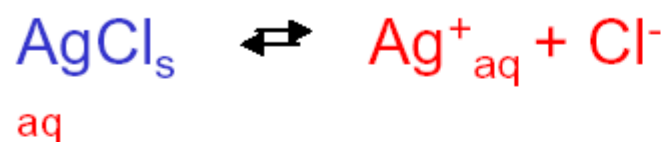
aktivitní koeficienty $\gamma = 1$

žádné další ionty nebo vedlejší reakce

Splněno jen zcela výjimečně!

Součin rozpustnosti

Tuhá fáze má aktivitu = 1



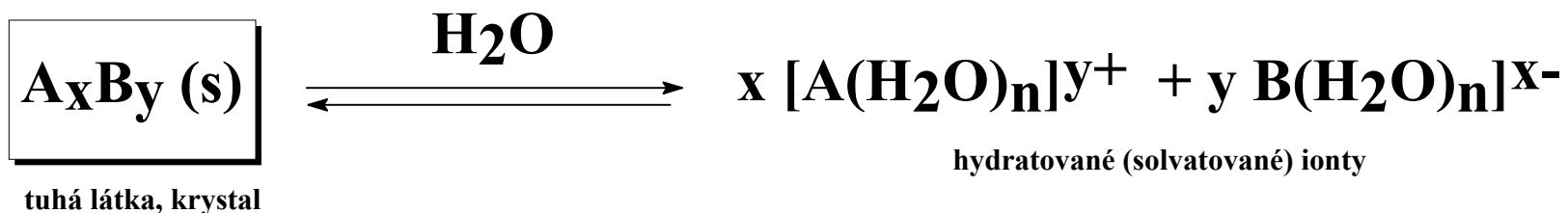
$$K = \frac{[\text{Ag}^+_{\text{aq}}][\text{Cl}^-_{\text{aq}}]}{[\text{AgCl}_{\text{s}}]} = \frac{[\text{Ag}^+_{\text{aq}}][\text{Cl}^-_{\text{aq}}]}{1}$$

$$K_{\text{L}} = [\text{Ag}^+_{\text{aq}}][\text{Cl}^-_{\text{aq}}]$$



$$K_{\text{L}} = [\text{A}^{2+}_{\text{aq}}]^2 [\text{B}^{2-}_{\text{aq}}]^3$$

Součin rozpustnosti a rozpustnost



$$K_s = [A]^x [B]^y = (x R)^x (y R)^y$$

R = Rozpustnost

$$R = \left(\frac{K_s}{x^x y^y} \right)^{\frac{1}{x+y}}$$

Table 16.5 Solubility products at 25°C

Compound	Formula	K_{sp}	Compound	Formula	K_{sp}
aluminum hydroxide	$Al(OH)_3$	1.0×10^{-33}	fluoride	PbF_2	3.7×10^{-8}
antimony sulfide	Sb_2S_3	1.7×10^{-93}	iodate	$Pb(IO_3)_2$	2.6×10^{-13}
barium carbonate	$BaCO_3$	8.1×10^{-9}	iodide	PbI_2	1.4×10^{-8}
fluoride	BaF_2	1.7×10^{-6}	sulfate	$PbSO_4$	1.6×10^{-8}
sulfate	$BaSO_4$	1.1×10^{-10}	sulfide	PbS	8.8×10^{-29}
bismuth sulfide	Bi_2S_3	1.0×10^{-97}	magnesium		
calcium carbonate	$CaCO_3$	8.7×10^{-9}	ammonium phosphate	$MgNH_4PO_4$	2.5×10^{-13}
fluoride	CaF_2	4.0×10^{-11}	carbonate	$MgCO_3$	1.0×10^{-5}
hydroxide	$Ca(OH)_2$	5.5×10^{-6}	fluoride	MgF_2	6.4×10^{-9}
sulfate	$CaSO_4$	2.4×10^{-5}	hydroxide	$Mg(OH)_2$	1.1×10^{-11}
copper(I) bromide	$CuBr$	4.2×10^{-8}	mercury(I) chloride	Hg_2Cl_2	1.3×10^{-18}
chloride	$CuCl$	1.0×10^{-6}	iodide	Hg_2I_2	1.2×10^{-28}
iodide	CuI	5.1×10^{-12}	mercury(II) sulfide, black	HgS	1.6×10^{-52}
sulfide	Cu_2S	2.0×10^{-47}	sulfide, red	HgS	1.4×10^{-53}
copper(II) iodate	$Cu(IO_3)_2$	1.4×10^{-7}	nickel(II) hydroxide	$Ni(OH)_2$	6.5×10^{-18}
oxalate	$Cu(C_2O_4)$	2.9×10^{-8}	silver bromide	$AgBr$	7.7×10^{-13}
sulfide	CuS	1.3×10^{-36}	carbonate	Ag_2CO_3	6.2×10^{-12}
iron(II) hydroxide	$Fe(OH)_2$	1.6×10^{-14}	chloride	$AgCl$	1.6×10^{-10}
sulfide	FeS	6.3×10^{-18}	hydroxide	$AgOH$	1.5×10^{-8}
iron(III) hydroxide	$Fe(OH)_3$	2.0×10^{-39}	iodide	AgI	8.0×10^{-17}
lead(II) bromide	$PbBr_2$	7.9×10^{-5}	sulfide	Ag_2S	6.3×10^{-51}
chloride	$PbCl_2$	1.6×10^{-5}	zinc hydroxide	$Zn(OH)_2$	2.0×10^{-17}
			sulfide	ZnS	1.6×10^{-24}

Koligativní vlastnosti

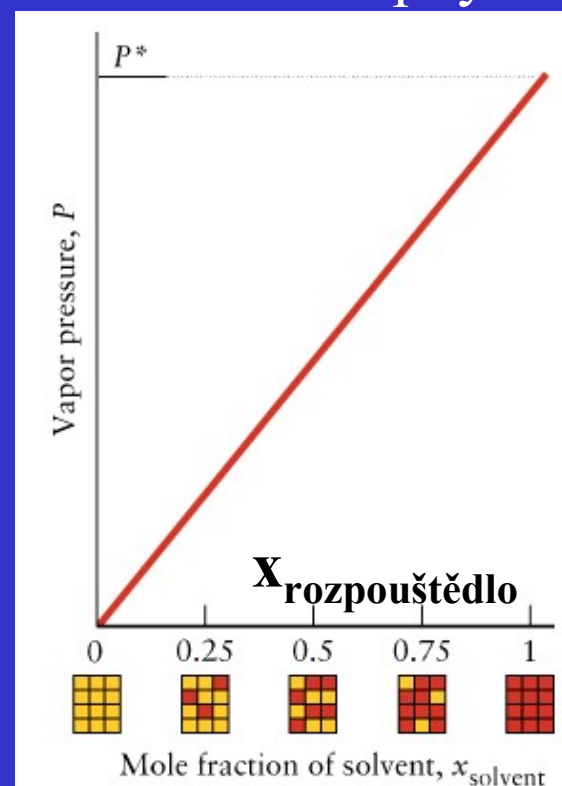
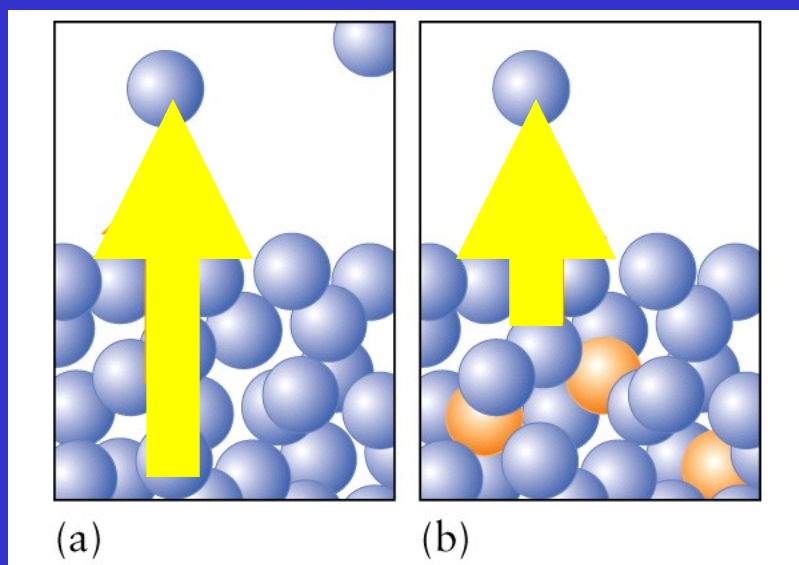
Vlastnosti roztoku, které **nezávisí na druhu** rozpuštěné látky, ale **závisí jen** na jejím **množství**, počtu molekul.

- Tlak par
 - Snížení za přítomnosti rozpuštěné látky
- Teplota varu
 - Zvýšení za přítomnosti rozpuštěné látky = ebulioskopický efekt
- Teplota tání
 - Snížení za přítomnosti rozpuštěné látky = kryoskopický efekt
- Osmotický tlak
 - Určen rozdílem koncentrací rozpuštěných látek

Snížení tlaku par

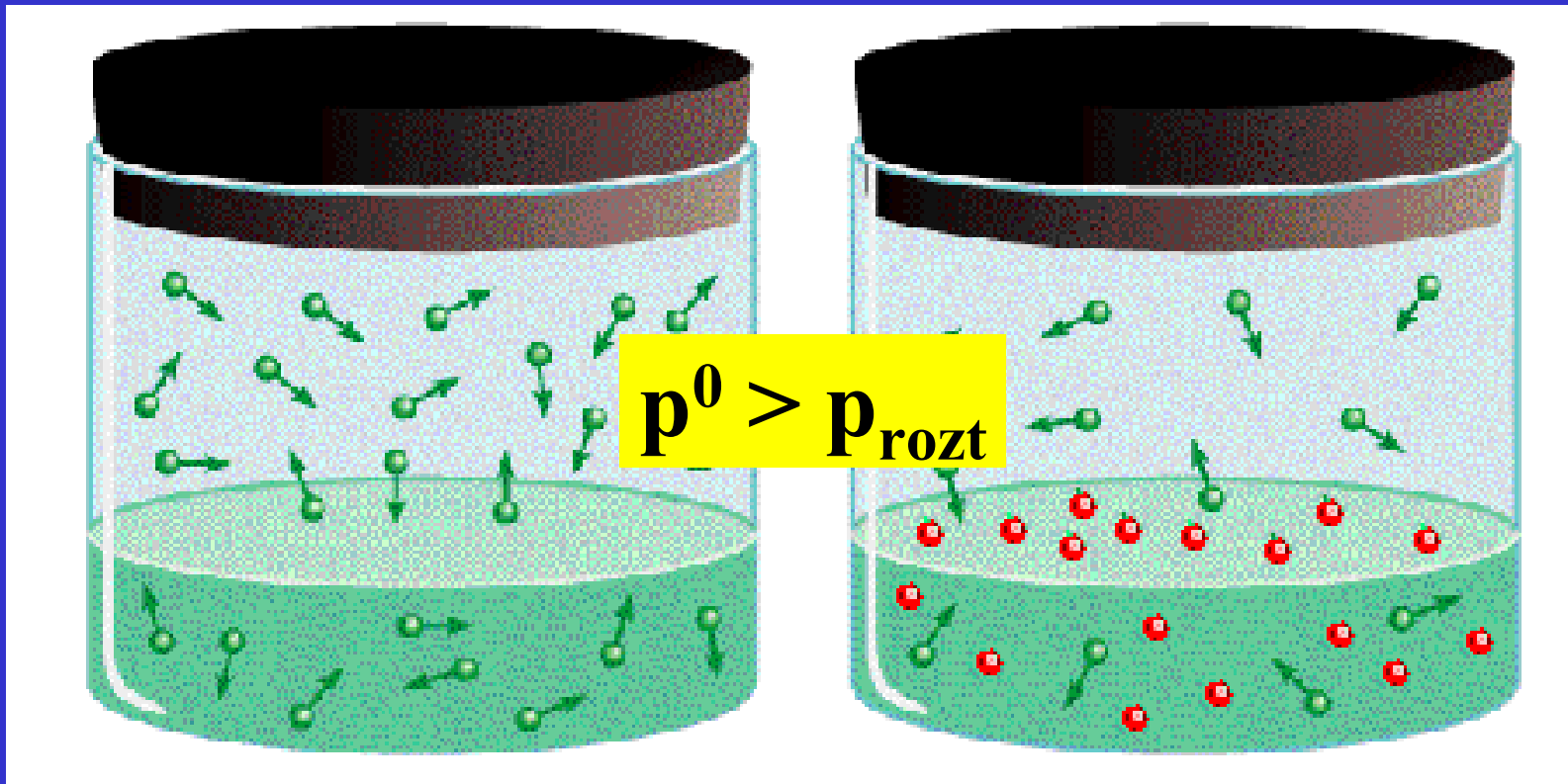
Přídavek rozpuštěné látky do rozpouštědla vede ke snížení tlaku par dvěma mechanismy

1. Vzrůst entropie roztoku sníží hnací sílu pro vypařování
2. Zředění rozpouštědla sníží počet molekul schopných opustit povrch roztoku

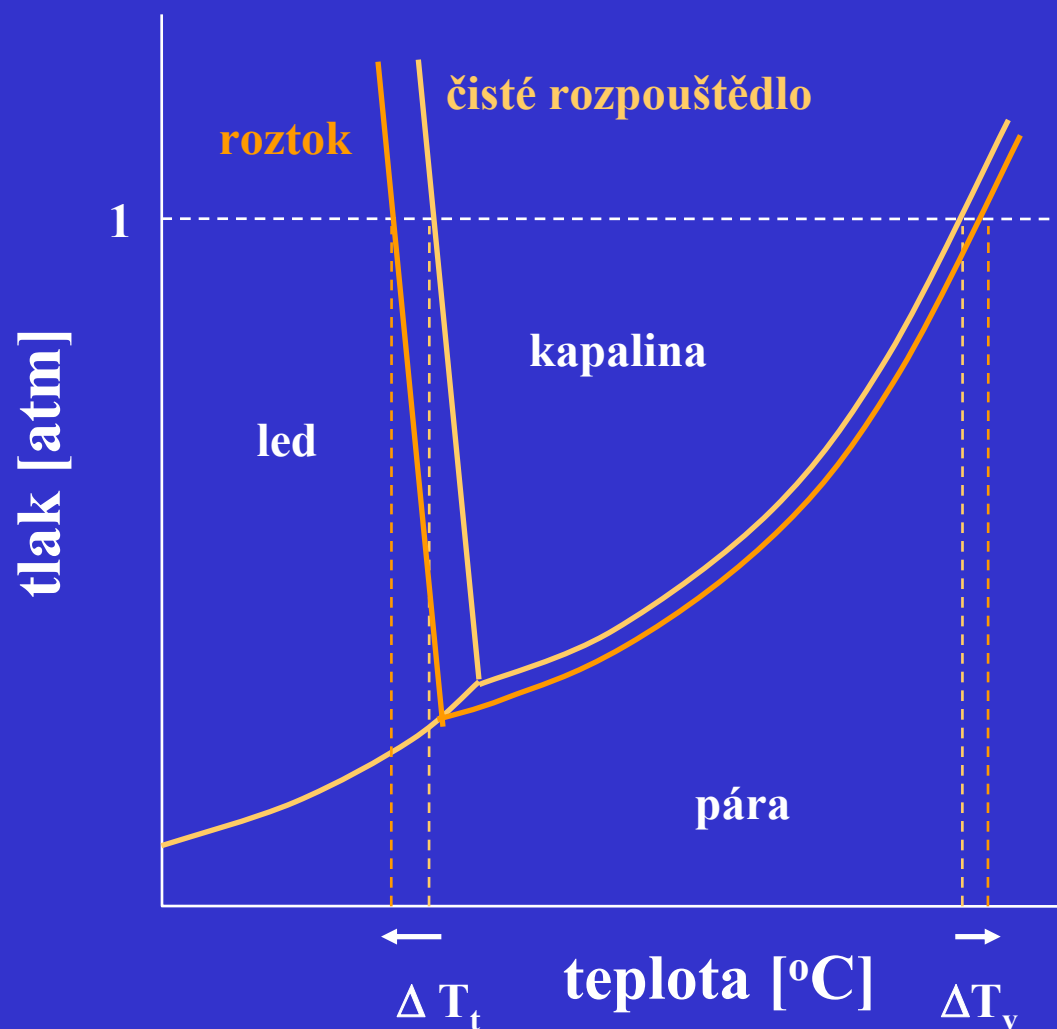


Snížení tlaku par nad roztokem

Zředění rozpouštědla přidávkem rozpuštěné látky sníží počet molekul schopných opustit povrch roztoku



Snížení tlaku par nad roztokem má za následek snížení teploty tání a zvýšení teploty varu



Raoultův zákon

Tlak par rozpouštědla nad roztokem je roven součinu tlaku par čistého rozpouštědla a molárního zlomku rozpouštědla

Tlak par rozpouštědla nad roztokem

$$p_{\text{rozpouštědla}} = x_{\text{rozpouštědla}} P^0_{\text{rozpouštědla}}$$

$$p_{\text{celkový}} = p_{\text{rozpouštědla}} + p_{\text{rozp. látky}}$$

= 0 pro netěkavé látky

$$p_{\text{celkový}} = x_{\text{rozpouštědla}} P^0_{\text{rozpouštědla}}$$

Raoultův zákon

$$P_1 = x_1 P_1^\circ \quad (x_1 = \text{rozpouštědlo})$$

$$x_1 = 1 - x_2 \quad (x_2 = \text{rozpuštěná látka})$$

$$P_1 = (1 - x_2) P_1^\circ$$

$$P_1 = P_1^\circ - x_2 P_1^\circ$$

$$P_1^\circ - P_1 = \Delta P_1 = x_2 P_1^\circ \quad \text{Snížení tlaku par}$$

Dvě těkavé látky, A a B

$$P_A = x_A P_A^\circ$$

$$P_B = x_B P_B^\circ$$

$$P_{\text{celk}} = P_A + P_B = x_A P_A^\circ + x_B P_B^\circ$$

Raoultův zákon

Při 25 °C je tlak par vody 23.76 Torr a tlak par nad vodným roztokem je 22.98 Torr. Vypočti molární zlomky komponent

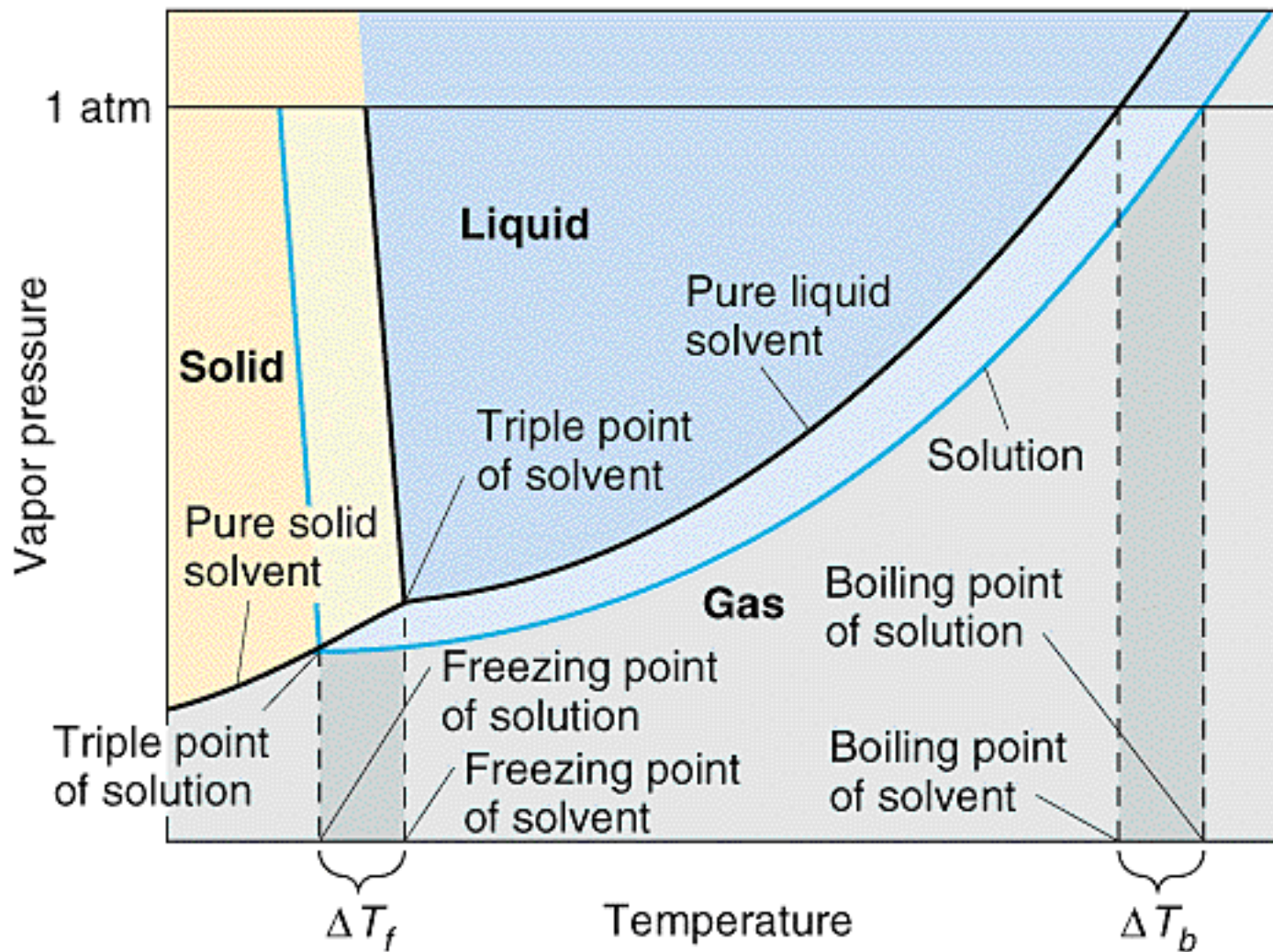
$$p = x_{\text{rozpouštědla}} p^0_{\text{rozpouštědla}}$$

$$22.98 \text{ Torr} = x_{\text{rozpouštědla}} (23.76 \text{ Torr})$$

$$x_{\text{rozpouštědla}} = 0.967$$

$$x_{\text{rozp. látky}} = 0.033$$

Snížení bodu tání a zvýšení bodu varu



Zvýšení teploty varu

Bod varu = teplota, při které se vyrovná tenze par s vnějším tlakem.

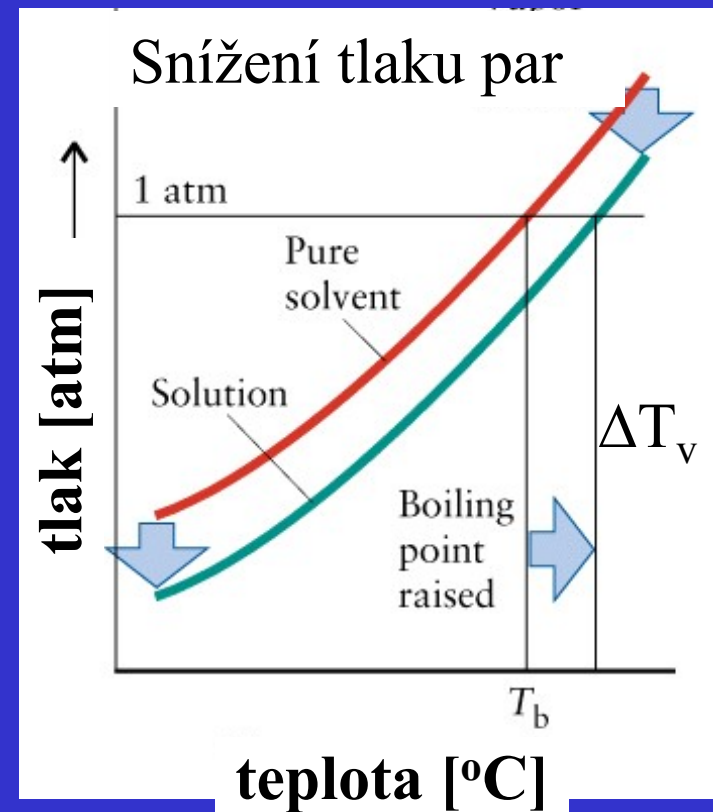
Zvýšení teploty varu

$$\Delta T_v = i k_b c_m$$

i = van't Hoffův faktor, počet částic

k_b = ebulioskopická konstanta

c_m = molalita [mol kg^{-1}]



Snížení bodu tání

Snížení bodu tání

$$\Delta T_t = i k_f c_m$$

i = van't Hoffův faktor, počet částic

k_f = kryoskopická konstanta

c_m = molalita [mol kg^{-1}]

Table 12.8 Boiling-point and freezing-point constants

Solvent	Freezing point, °C	k_f , K·kg/mol	Boiling point, °C	k_b , K·kg/mol
acetone	-95.35	2.40	56.2	1.71
benzene	5.5	5.12	80.1	2.53
camphor	179.8	39.7	204	5.61
carbon tetrachloride	-23	29.8	76.5	4.95
cyclohexane	6.5	20.1	80.7	2.79
naphthalene	80.5	6.94	217.7	5.80
phenol	43	7.27	182	3.04
water	0	1.86	100.0	0.51

Snížení bodu tání

Snížení bodu tání automobilové chladicí kapaliny
50 g ethylen glykol ($C_2H_6O_2$) a 100 g vody.

EG, ethylen glykol, $i = 1$

$$M(\text{EG}) = 62 \text{ g mol}^{-1}$$

$$n(\text{EG}) = 50 \text{ g} / 62 \text{ g mol}^{-1} = 0.833 \text{ mol}$$

$$\text{Molalita} = n(\text{EG}) / m(\text{rozp}) = 0.833 \text{ mol} / 0.100 \text{ kg} = 8.33 \text{ m}$$

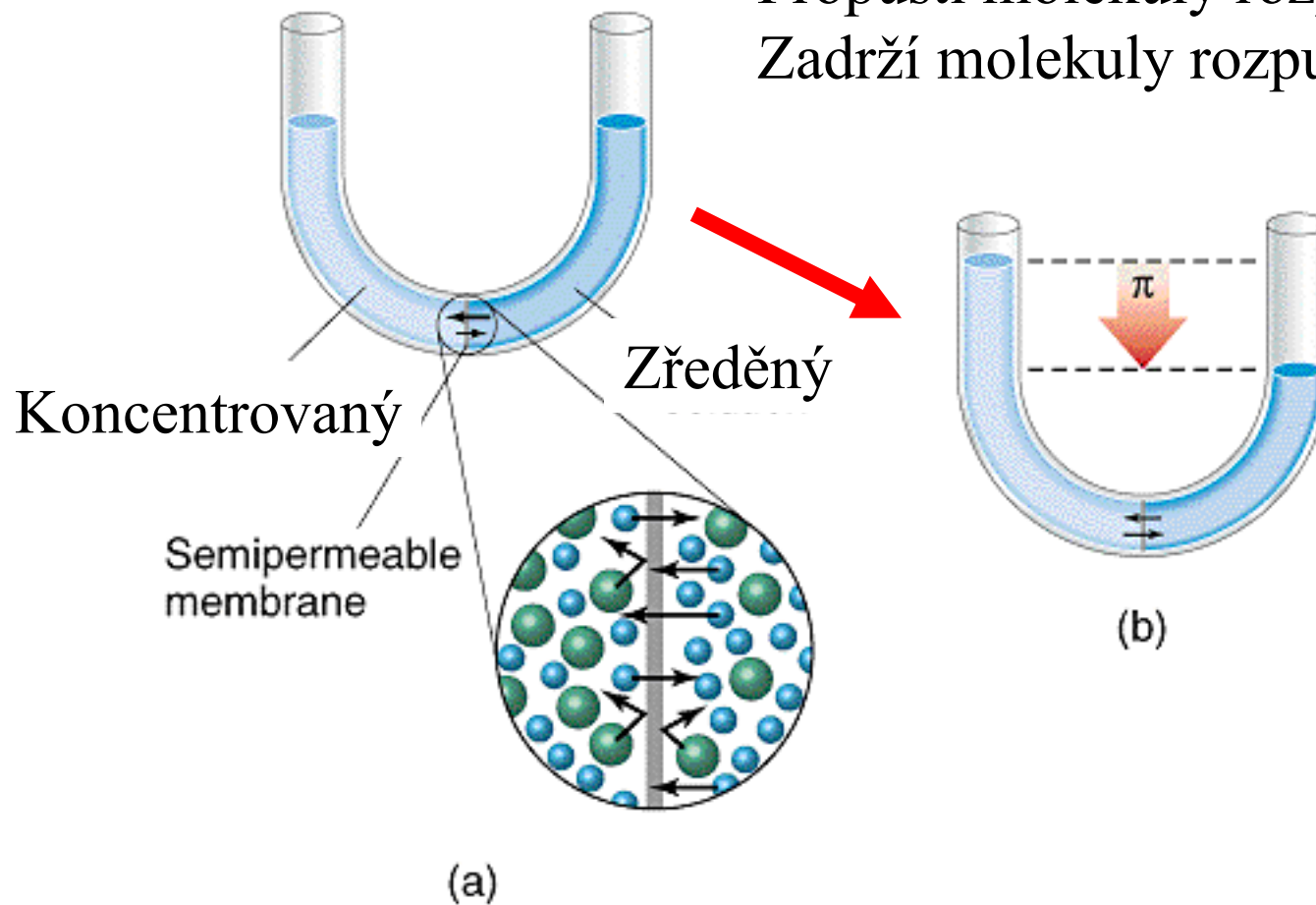
$$\Delta T = i k_f m \quad k_f(\text{vody}) = 1.86 \text{ K m}^{-1}$$

$$\Delta T = (1)(1.86 \text{ K m}^{-1})(8.33 \text{ m}) = 15.5 \text{ K} = 15.5 \text{ }^\circ\text{C}$$

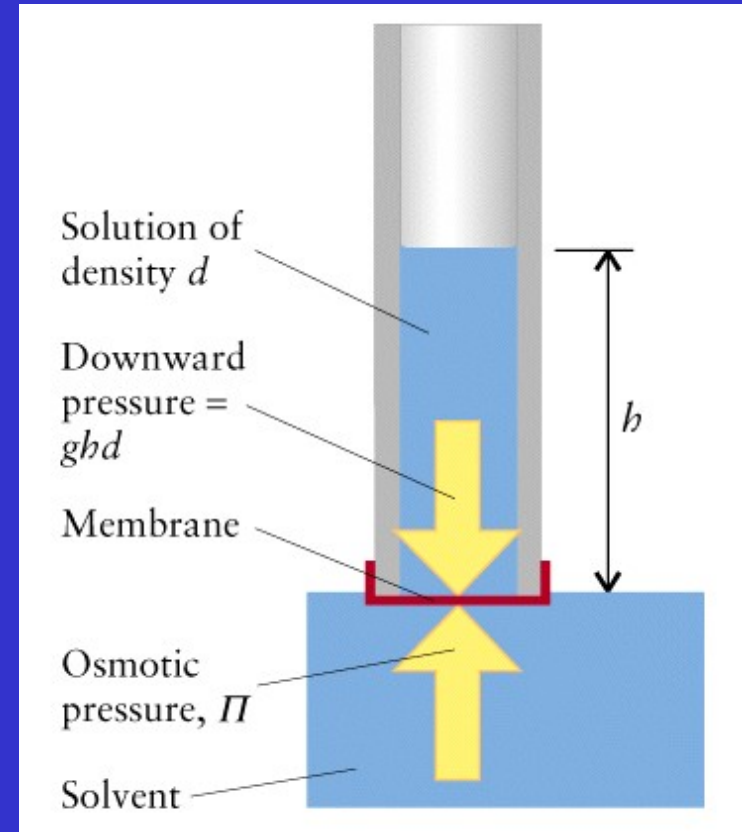
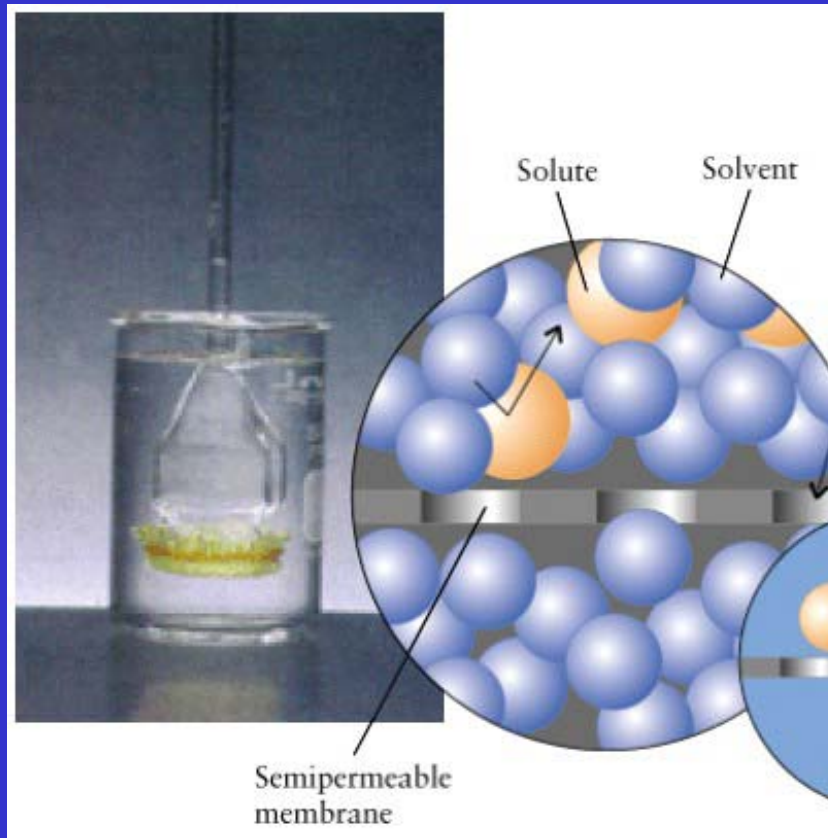
$$\text{Bod tuhnutí} = 0 \text{ }^\circ\text{C} - 15.5 \text{ }^\circ\text{C} = -15.5 \text{ }^\circ\text{C}$$

Osmóza

Semipermeabilní membrána
Propustí molekuly rozpouštědla
Zadrží molekuly rozpuštěné látky



Osmotický tlak



Osmotický tlak

Osmotický tlak je úměrný koncentraci a teplotě

$$\Pi = c_M R T$$

Pro iontové roztoky

$$\Pi = i c_M R T$$

c_M = koncentrace molární

R = plynová konstanta

Π = osmotický tlak

T = teplota v K

i = van't Hoffův faktor

Podobné rovnici ideálního plynu.

Podobný efekt = molekulární srážky vytváří tlak

Osmóza

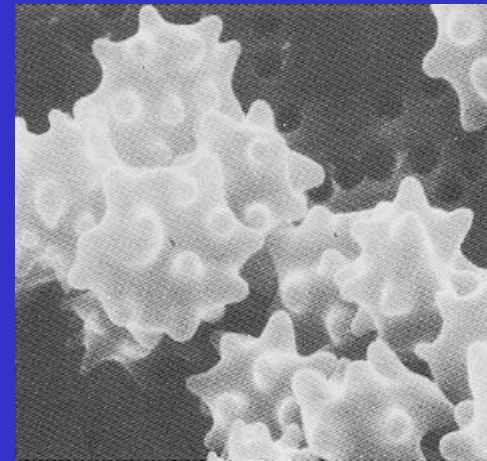
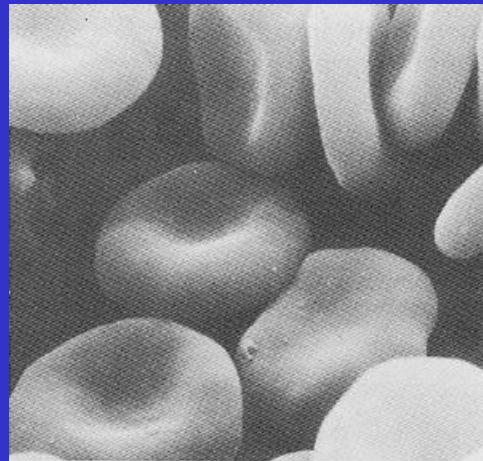
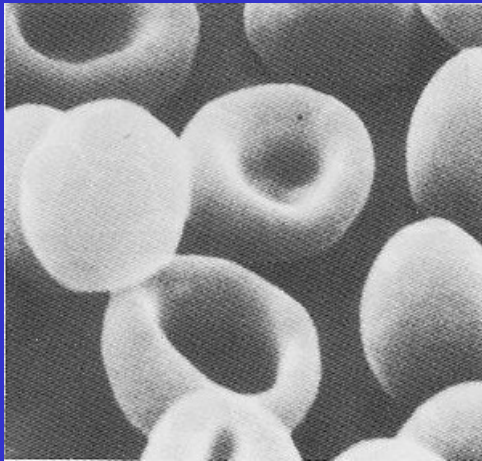
Dialýza – oddělení velkých molekul z roztoku, malé projdou membránou

Izotonický roztok

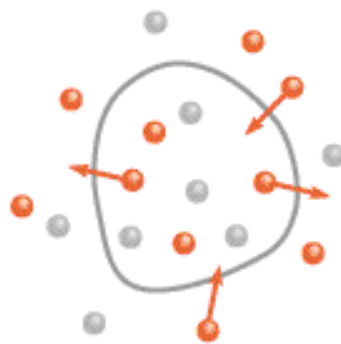
Hypotonický roztok

Hypertonický roztok

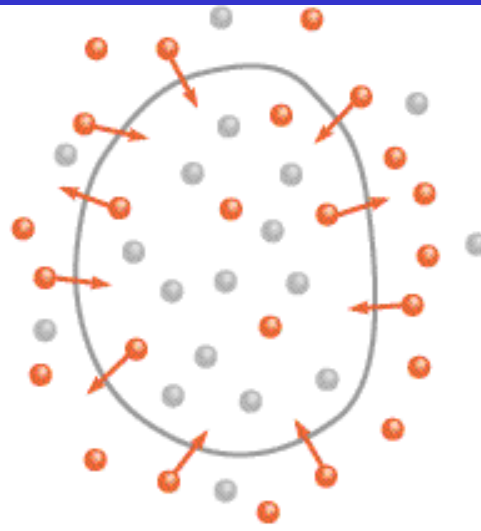




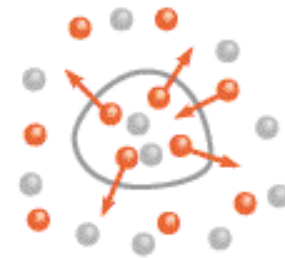
● Water molecules
● Solute molecules



(a)



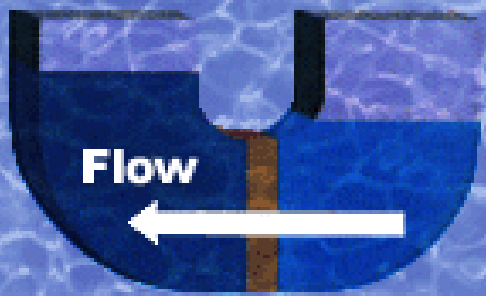
(b)



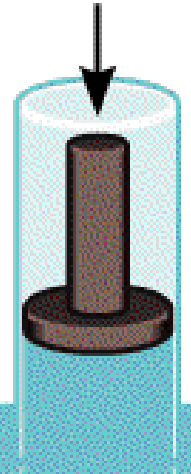
(c)

Osmosis

Reverse Osmosis



Pressure

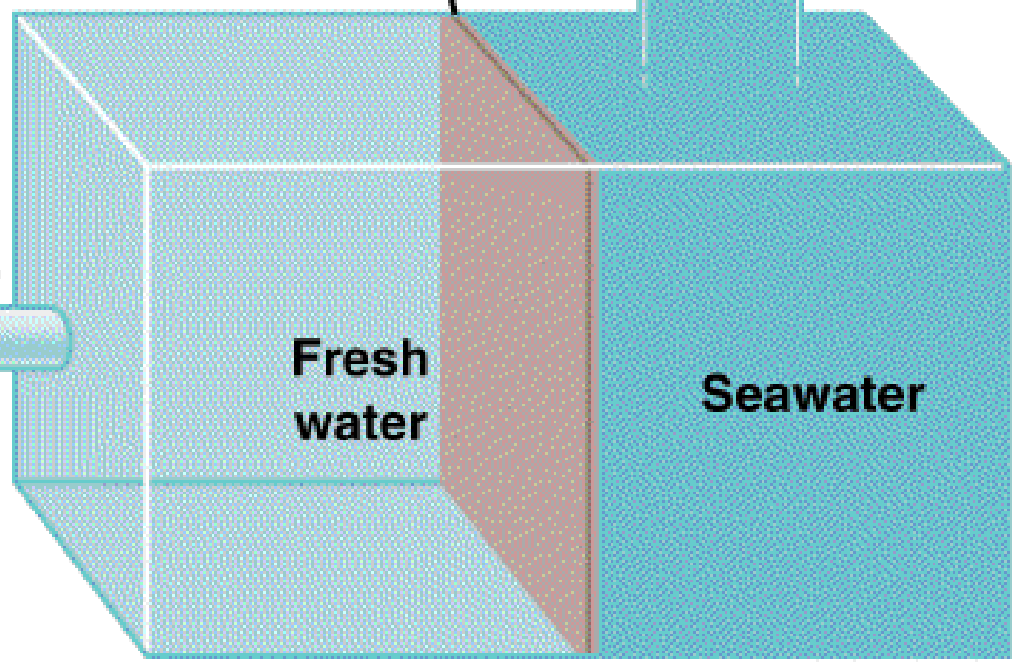


Semipermeable membrane



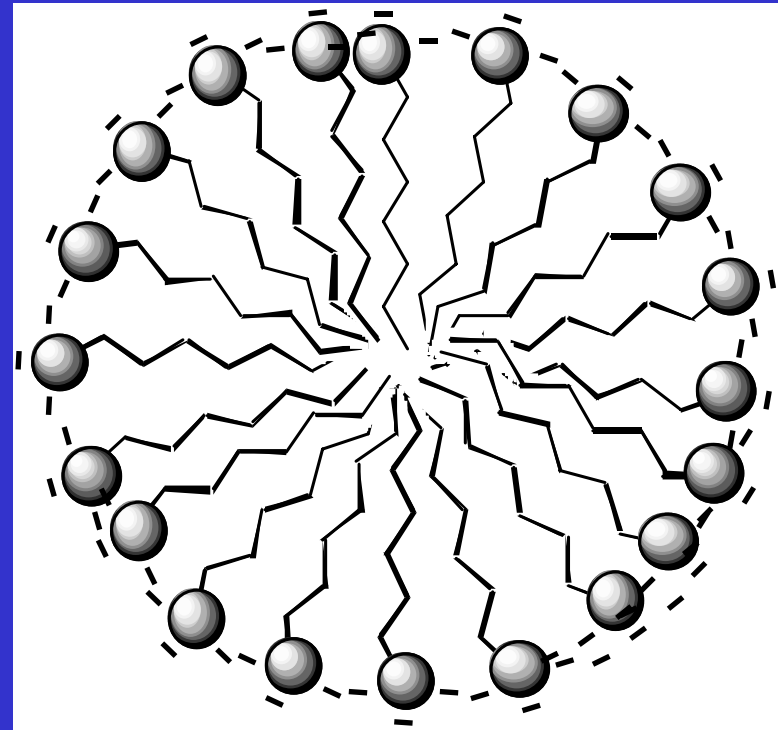
Fresh water

Seawater



Koloidní soustavy

- Koloidy jsou suspenze, ve kterých jsou částice větší než molekuly, ale malé na to, aby se vyloučily z roztoku gravitací. Velikost 10 až 2000 Å.
- Typy koloidů:
 - aerosol (g + l nebo s, mlha, kouř)
 - pěna (l + g, šlehačka, pивní pěna)
 - emulze (l + l, mléko)
 - sol (l + s, barva)
 - tuhá pěna (s + g, marshmallow),
 - tuhá emulze (s + l, máslo),
 - tuhý sol (s + s, rubínové sklo).



Micely

Koloidní soustavy

disperzní soustava =

disperzní podíl (disperzum) + disperzní prostředí (dispergens)

Lyofilní koloidy, TD stálé

Vysokomolekulární (roztok polystyrenu v acetonu, roztok bílkoviny či nukleové kyseliny ve vodě)

Micelární

vznikají z pravých roztoků shlukováním rozpuštěných molekul do shluků – micel micela - 10 až 1000 částic

Lyofóbní koloidy, TD nestálé

musí se míchat, vytvořit ochranný micelární obal